

Neuron Firing と再生過程

広島大学工学部経営工学科教室

尾崎俊治

1. 序論

Neuron Firing のしくみを electric potential の立場から考えてみよう。電位差は膜の両側の Na, K, および Cl イオンの濃度によって決定される。電気 impulse が入力線維に沿って到着するとき、電位差が変る。電位差がある threshold level をこえたとき、neuron は "fire" すると考えられる。すなわち、impulse は軸索に沿って discharge すると考えられる。さて、到着する impulse は 2つのタイプがある。一つは neuron 内の電位を上げるものであり、他はそれを下げるものである。これらは、それぞれ excitatory stimulus および inhibitory stimulus とよばれる。neuron の electric potential を変える excitatory および inhibitory stimuli のしくみははっきりわかっていない。Ten Hoopen and Reuver は一連の論文で、これらの stimuli の確率モデルを

仮定し、neuron firing のしくみを研究した。以後、Coleman and Fastwirth, Srinivasan and Rajamannar, Osaki, Osaki and Vasudevan などによってⅠ～Ⅲのモデルが考えられていく。ここでは、Ten Hoopen and Reuver の基本的なモデルをもつとも一般的な仮定のもとで解説し、さらに threshold level を考慮したより一般的なモデルを提案し、その解析結果を示す。

2. Ten Hoopen and Reuver のモデルとその変形

Ten Hoopen and Reuver はつきのモデルⅠおよびⅢを提案した。

(i) モデルⅠ

excitatory および inhibitory stimuli は独立な点過程で表わされるとする。1つあるいはそれ以上の inhibitory events が生起したならば、つきの excitatory event は取り除れる。た

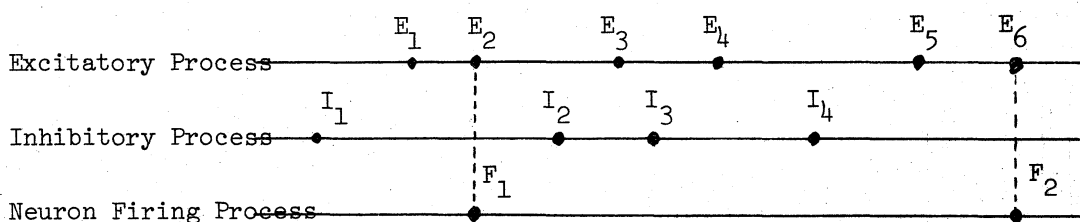


Fig. 1. A realization of the mechanism of neuron firing described by two independent point processes.

とえば、Fig. 1 において、 E_1 は取り除かれるが、 E_2 で fire する。 E_3 および E_4 は取り除かれるが、 E_5 で fire する。

ここでは、fire した瞬間からつぎの fire するまで時間に關係がある。たとえば、Fig. 1 では F_1 から F_2 までの時間である。ここでは、2つの点過程はともに再生過程で記述されると、excitatory process は分布 $F(t)$ をもつ再生過程、inhibitory process は分布 $G(t)$ をもつ平衡再生過程とする。fire した瞬間を excitatory process の出発時刻とし、つぎに fire するまでの時間分布を $P(t)$ とすれば、

$$(1) \quad P(t) = \int_0^t [1 - \hat{G}(x)] dF(x) + \int_0^t \hat{G}(x) d\bar{F}(x) * P(t)$$

となる。ここで、 $\hat{G}(t) = \mu \int_0^t [1 - G(y)] dy$ および $1/\mu = \int_0^\infty t dG(t)$ とする。また、* は Stieltjes convolution を表す。したがって、 $P(t)$ の Laplace-Stieltjes (LS) 変換は

$$(2) \quad P^*(s) = \int_0^\infty e^{-st} dP(t) = \frac{\int_0^\infty e^{-sx} [1 - \hat{G}(x)] dF(x)}{1 - \int_0^\infty e^{-sx} \hat{G}(x) d\bar{F}(x)}$$

となる。とくに、 $G(t) = 1 - e^{-\mu t}$ とすれば、Ten Hoopen and Reuver の結果と一致する。

さらに、neuron firing process が ポアソン過程で記述されるための必要十分条件を求めよう。

[定理] $G(t) = 1 - e^{-\mu t}$ と仮定する。neuron firing process がパラメータ β のポアンソン過程となるための十分条件は $F(t) = 1 - \exp [(\beta/\mu)(1 - e^{\mu t})]$ となることである。

(ii) モデル II

モデル I では、inhibitory event の抑制効果はつきの excitatory event の生起時間に関係ないと仮定した。ところが、その効果は現実には有限と考えられる。そこで、inhibitory event が生起したのち、その効果がなくなるまでの時間分布を $H(t)$ とする。そのとき

$$(3) P(t) = \int_0^t [1 - \hat{G}(x)] dF(x) + \int_0^t [\hat{G}(x) * H(x)] dF(x) \\ + \int_0^t \{\hat{G}(x) * [1 - H(x)]\} dF(x) * P(t)$$

となる。したがって

$$(4) P^*(s) = \frac{\int_0^\infty e^{-sx} [1 - \hat{G}(x)] dF(x) + \int_0^\infty e^{-sx} [\hat{G}(x) * H(x)] dF(x)}{1 - \int_0^\infty e^{-sx} \{\hat{G}(x) * [1 - H(x)]\} dF(x)}$$

となる。平均時間、高次のモーメントは直ちに求められる。

(iii) モデル III

モデル I や II においては 2 つの独立な再生過程を考えたが、ここでは、excitatory process は常に inhibitory process を trigger すると仮定する。そのとき

$$(5) \quad P(t) = \int_0^t [1 - G(t)] dF(t) + \int_0^t G(t) dF(t) * P(t)$$

となる。ただし、 $G(t)$ は任意の分布である。

(IV) モデルⅣ

モデルⅢと同様であるが、inhibitory event の抑制効果が有限で、分布 $H(t)$ に従うとすれば、

$$(6) \quad P(t) = \int_0^t [1 - G(t)] dF(t) + \int_0^t [G(t) * H(t)] dF(t) \\ + \int_0^t \{ G(t) * [1 - H(t)] \} dF(t) * P(t)$$

となる。⁽⁵⁾ および ⁽⁶⁾ の場合も LS 変換、平均などは直ちに求められる。

3. Threshold Level を考慮したモデル

いままでのモデルにおいては、firing は excitatory event の前に inhibitory event がないか、あるいは抑制効果がなくなったとき、excitatory event 1つで fire すると仮定した。
 (しかし、一般には、excitatory events によって生じた電位がある threshold level を越えるとき初めて fire すると考えられる。そこで、ここでは threshold level を考慮したモデルを考える。excitatory event は excitation 量を引き上げ inhibitory event は excitation 量を 0 に引き下げるとする)

3. また3人 excitation量は加法的とする (Fig. 2 参照)。

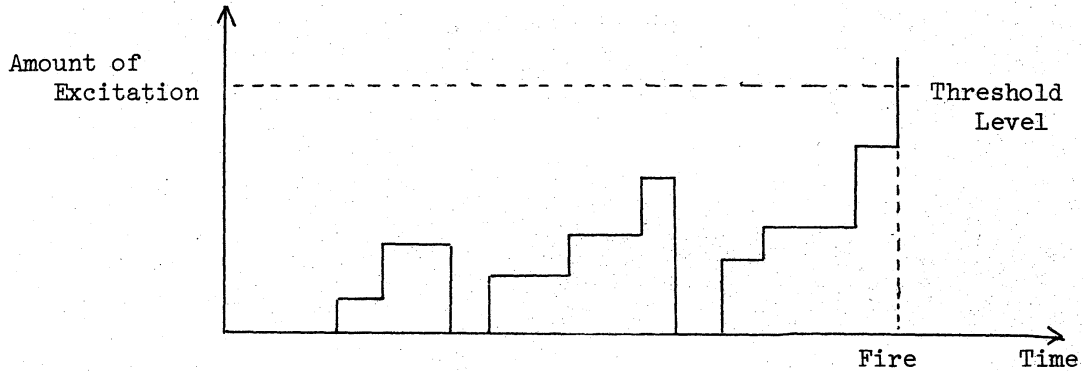


Fig. 2. A realization of the mechanism with threshold level.

(i-1) 番目が i 番目 ($i=1, 2, \dots$) の excitatory event までの時間を表わす random variable (r.v.) を X_i とし、各 excitatory event & inhibitory process を trigger するとする。 i 番目の inhibitory event までの時間の r.v. を Y_i とする。また i 番目の excitatory event によって生じた excitation 量を表わす r.v. を W_i とすれば。

$$\Pr(X_i \leq t) = F(t) \quad (i=1, 2, \dots)$$

$$\Pr(Y_i \leq t) = G(t) \quad (i=1, 2, \dots)$$

$$\Pr(W_i \leq x) = L(x) \quad (i=1, 2, \dots)$$

と定義する。さて。

$$(7) \quad \Pr(X_i < Y_i \text{ and } X_i \leq t) = \int_0^t \bar{G}(u) dF(u),$$

$$(8) \quad \Pr(Y_i < X_i \text{ and } X_i \leq t) = \int_0^t G(u) dF(u),$$

となる。ここで、一般に $\bar{G}(u) \equiv 1 - G(u)$ とする。 j 回引き続
いて excitatory events が起こり、その excitation 量が
threshold level K 以下であり、 $(j+1)$ 回目に K を越える確率
は

$$(9) \quad \Pr(W_0 + W_1 + \dots + W_j \leq K \text{ and } W_0 + W_1 + \dots + W_{j+1} > K) \\ = L^{(j)}(K) - L^{(j+1)}(K) \quad (j=0, 1, 2, \dots)$$

となる。ここで、 $L^{(j)}(K)$ は j 重 Stieltjes たたみを表わす。
さて、 j 回の excitatory events が引き続いで起こり、 j 回
目に threshold level K を越える同時確率は

$$(10) \quad \Pr(X_1 + X_2 + \dots + X_j \leq t, W_0 + W_1 + \dots + W_{j-1} \leq t \text{ and } W_0 + \dots + W_j > K) \\ = [L^{(j)}(K) - L^{(j+1)}(K)] \Pr(X_1 + \dots + X_j \leq t)$$

となる。

$J_K(t|x)$ は時刻 $t = -0$ で excitation 量が x であったと
き、時刻 t で初めて threshold level K を越える時間分布と
する。出発時刻が excitatory event の直前 ($t = -0$) であるこ
とを注意する。そのとき

$$(11) \quad J_K(t|x) = \Pr(W_0 > K) \\ + \sum_{j=1}^{\infty} \Pr(X_1 + X_2 + \dots + X_j \leq t, W_0 + \dots + W_{j-1} \leq K \text{ and } W_0 + \dots + W_j > K) \\ + \sum_{j=1}^{\infty} \Pr(X_1 + X_2 + \dots + X_j + X'_{j+1} < t \text{ and } W_0 + \dots + W_j \leq K) * J_K(t|0)$$

となる。ここで、 X'_{j+1} は $(j+1)$ 番目の excitatory event は

$(j+1)$ 番目の inhibitory event の後に起こることを表わす

r. v. である。LS変換を

$$(12) \quad J_K^*(s|0) = \int_0^\infty e^{-st} d J_K(t|0)$$

と定義すれば、

$$(13) \quad J_K^*(s|0) = \frac{\sum_{j=0}^{\infty} [L^{(j)}(K) - L^{(j+1)}(K)] [A(s)]^j}{1 - \sum_{j=0}^{\infty} L^{(j+1)}(K) [A(s)]^j B(s)}$$

となる。ただし、

$$(14) \quad A(s) = \int_0^\infty e^{-st} \bar{F}(t) d F(t),$$

$$(15) \quad B(s) = \int_0^\infty e^{-st} G(t) d F(t).$$

とする。

上の議論で、出発時刻は excitation 量が 0 であるような excitatory event の直前を考えている。しかし、本当の出発時刻はその前の excitatory event (firing event) の直後であるから、それまでの時間分布は $F(t)$ である。よって $J_K(t)$ は 2つの firing events の間の時間分布と仮定すれば、

$$(16) \quad J_K^*(s) = \int_0^\infty e^{-st} d J_K(t) = F^*(s) J_K^*(s|0)$$

$$= \frac{F^*(s) \sum_{j=0}^{\infty} [L^{(j)}(K) - L^{(j+1)}(K)] [A(s)]^j}{1 - \sum_{j=0}^{\infty} L^{(j+1)}(K) [A(s)]^j B(s)}$$

$$= \frac{F^*(s) \cdot \left\{ 1 - [1 - A(s)] \sum_{j=0}^{\infty} L^{(j+1)}(K) [A(s)]^j \right\}}{1 - \sum_{j=0}^{\infty} L^{(j+1)}(K) [A(s)]^j B(s)}$$

となる。ここで、

$$(17) \quad F^*(s) = \int_0^\infty e^{-st} dF(t)$$

とする。

threshold level K を初めて越えるまでの平均時間は、

$$(18) \quad \ell_K = - \lim_{s \rightarrow 0} \frac{dJ_K^*(s)}{ds}$$

$$= \frac{1}{\lambda} + \frac{1}{\lambda} \cdot \frac{\sum_{j=0}^{\infty} L^{(j+1)}(K) [A(0)]^j}{1 - B(0) \sum_{j=0}^{\infty} L^{(j+1)}(K) [A(0)]^j}$$

となる。ここで、 $1/\lambda = \int_0^\infty t dF(t)$ とする。さらに、再生関数は、

$$(19) \quad M_K(t) = J_K(t) + \int_0^t M_K(t-x) dJ_K(x)$$

あるいは、その LS 変換より求められる。また、再生定理より

$$(20) \quad \lim_{t \rightarrow \infty} \frac{M_K(t)}{t} = \frac{1}{\ell_K}$$

となる。

REFERENCES

- [1] R. Coleman and J. L. Gastwirth, "Some Models for Interaction of Renewal Processes Related to Neuron Firing," J. Appl. Prob., vol 6, 1969, pp. 38-58.
- [2] D. R. Cox, Renewal Theory, Methuen, London, 1962.
- [3] A. J. Lawrence, "Selective Interaction of a Poisson and Renewal Process: First Order Stationary Point Results," J. Appl. Prob., vol. 7, 1970, pp. 359-372.
- [4] T. Nakagawa and S. Osaki, "A Model for Interaction of Two Renewal Processes with Threshold Level," Information and Control, to appear.
- [5] S. Osaki, "Notes on Renewal Processes and Neuronal Spike Trains," Math. Biosci., vol. 12, 1971, pp. 33-39.
- [6] _____ and R. Vasudevan, "On a Model of Neuronal Spike Trains," Ibid., vol. 14, 1972, pp. 337-341.
- [7] S. K. Srinivasan and R. Rajamannar, "Selective Interaction Between Two Independent Stationary Recurrent Point Processes," J. Appl. Prob., vol. 7, 1970, pp. 476-482.
- [8] _____ and _____, "Counter Models and Dependent Renewal Point Processes Related to Neuron Firing," Math. Biosci., vol. 7, 1970, pp. 27-39.
- [9] M. Ten Hoopen and H. A. Reuver, "Selective Interaction Between Two Independent Recurrent Processes," J. Appl. Prob., vol. 2, 1965, pp. 286-292.
- [10] _____ and _____, "Interaction Between Two Dependent Recurrent Time Series," Information and Control, vol. 10, 1967, pp. 149-158.
- [11] _____ and _____, "Recurrent Point Processes with Dependent Interference with Reference to Neuronal Spike Trains," Math. Biosci., vol. 2, 1968, pp. 1-10.

西尾： 最後のモデルについてですが、 Inhibitory が Excitatory によって、 トリガされると、 それが時刻 i に起るとして、 x_i が起つてから、 2 回続けて y_i が起るということはないですか。

尾崎： この場合どちらでも結果は同じです。

西尾： この場合、 添字の i を、 x の方の i と同じように議論してもよですか。 回数の問題です。

尾崎： 回数の問題から “えげおかしい”。 しかし数学的には、 この場合も 2 回起る場合も同じです。

西尾： 書き方をかえればよのですね。

尾崎： そうです。 Inhibitory process は、 Excitatory Event が起つたことにより trigger される \rightarrow 2 回起きるわけですから、 2 回続けて Inhibitory が起るという場合は、 このモデルのような dependency を考えていい場合には起り得なり。

西尾： Trigger というのは、 G の出発点を決めるというのとだけ考えればよいかですね。 さて、 このモデルで、 Inhibitory が 1 つ起りますね。 そして、 次の Excitatory モードの前にまた続けて Inhibitory が起きますね。

尾崎： そういう意味では同じ番号を使うのはおかしい。

西尾： この場合も考慮はされていいのか。

尾崎： 確率的な意味で“えげおかしい”、 そういう場合も含めていい。

西尾： このモデルだと、 Inhibitory が起つてから次の Excitatory までは Inhibitory が“な”とあります、 次に必ず Excitatory が来ます。

尾崎： Inhibitory を 1つだけしか仮定して“な”ようにすれば、 2つ仮定しても全く同じです。

西尾： 何か両者の間に dependency がでてきませんか。 Excitatory が Inhibitory に制御されるというようなことは。

尾崎： ありません。

磯本： 今の質問は、 Excitatory は τ_1 がかかる Inhibitory の他に、 Spontaneous な Inhibitory Impulse が発生しうるということができる。

尾崎： そラハラ意味であるとハラヨリは……。

磯本： 2つで2<3とハラニクの意味がよく分らない。

尾崎： でさからトリガするといふ意味は出発点を3点えとハラニクです。ここではGとハラ事象があなた。そしてまたここでは、事象があなた。

磯本： Excitatory が1度起らなければ Gは起らな」とハラニクなのですか。それとも Gが1度起つて、その後 Eがまくとも勝手に Inhibitory が起つてもいいのですか。

尾崎： 之後、起つてもいいです。でさから出発点を3点えと…。

磯本： かなり数学的方の方で“つか”。

尾崎： そう、うそおかしいで“つか”。

磯本： 何か具体的な現象に対応するですか。それはついつよく今から……。

尾崎： トリがするという意味に対して何かコメントがあればおしえておきたい。

西尾： モデル3の説明でちょっとおかしいと思ったのですが、モデル3は、トリがしたら、 $\tau = \tau'$ で Inhibitory が起つて“つか”だから、その効果が無限大時間続もうと“つか”仮定から、次のEは必ず Inhibit される $\tau = \tau'$ にはならないのですか。

Inhibitory process を start せると“つか”は、時間の出発点を決めたと“つか”で。 $\tau = \tau'$ は Inhibitory はおこらす。

尾崎： そうです。それでなければ次のEが必ず Inhibit され $\tau = \tau'$ になります。

南雲： 今そのようなモデルを考えたことは、不応期を考慮された“つか”ではないですか。

尾崎： そうです。文献をみてみると、不応期のことをほとんど“つか”でない。そこでそれをどうふうに扱うのかをと思ひました。

南雲： Excitatory があると fire す 3 たゞ うし， そのときには Inhibitory もかかるだろうと “うなごと” モデルがたてられて“ 3 が、 それは少しおかしい”。 fire したらすぐその後に Inhibition がかかると “うのまうよ”。 fire によって支配されるのです。 入力側でなくて出力側によつて支配されるのです。 E が入るときポテンシャルが少し上る。 I がとまってしまう。そして fire したら最初の値まで下つてしまふと “うようま” モデルがよい。

尾崎： ‘fire したら下までもどる’ と “うなごと” は考慮していえず。

南雲： しかし Inhibitory もゼロに戻つてしまふ。

尾崎： え。

南雲： 少し戻るとして、 ファリ E と I によつて少し上り下りして、 結局上まで達したら fire してゼロにあらざというモデルがよい。

佐藤： 今のモデルについては Johannesma と “う人が研究している。 彼の場合、 ポテンシャルがゼロに向つて指数的に減衰する” ことを考慮している。

尾崎： 減衰のことを “う” も考へたけれども、 数学的にはつかえるのは入力が“ボアソン過程” で、 入力間に interaction がない場合だけです。

佐藤： fire から fire までの間の時間分布。つまり first passage time の分布は入力の分布が決けば、 この式で一義的に計算できるのか。

? : データと比較はしてますか。

尾崎: してません。Ten Hoopen 達は、一部で“²⁷⁹”
に記憶してます。古の論文ですが、出力の分布にモードが
あるという二つ 現象に適合している。
P(+)^の密度函数

西尾: モードがあると“う”とは、周波数変調がある
“う”ですか。

尾崎: 分りません。

磯本: 不応性は $F(t)$ の形を考えるにとよって考慮するニ
カができるのではないか。これがコメントしようと思った二
つの一つであって、他の一つは、fluctuation のことです。つまり、細胞にはシナプスが沢山あって、それからの入力をア
トロゲン量とみなすことができる。E と I が入る = もよって
ポテンシャルが少しつつ上下する。そして、これが周期的に達
成なくても、確率的にいえば depolarization が走りうる。こう
いう結果が実験的に得られてます。時間的つなげかりで
なく、E と I の独立な生起が、ポテンシャルの値は + と -
に少しづく影響し、累積して“²”たゞきの spontaneous
fluctuation がどんな形をとるかといふことも計算できれば、
実験データとの比較も可能にならう。

尾崎: そうですか。